

МИНИСТЕРСТВО ПРОМЫШЛЕННОГО СТРОИТЕЛЬСТВА  
С С С Р  
ГЛАВНОЕ ТЕХНИЧЕСКОЕ УПРАВЛЕНИЕ  
**НАУЧНО-ИССЛЕДОВАТЕЛЬСКИЙ  
ИНСТИТУТ  
ПРОМЫШЛЕННОГО СТРОИТЕЛЬСТВА**



**РЕКОМЕНДАЦИИ  
ПО ЗАБИВКЕ СВАЙ В БЛИЗИ ЗДАНИЙ,  
СООРУЖЕНИЙ  
И ПОДЗЕМНЫХ КОММУНИКАЦИЙ**

**МИНИСТЕРСТВО ПРОМЫШЛЕННОГО СТРОИТЕЛЬСТВА СССР  
ГЛАВНОЕ ТЕХНИЧЕСКОЕ УПРАВЛЕНИЕ  
НАУЧНО-ИССЛЕДОВАТЕЛЬСКИЙ ИНСТИТУТ ПРОМЫШЛЕННОГО  
СТРОИТЕЛЬСТВА (НИИПРОМСТРОЙ)**

**РЕКОМЕНДАЦИИ  
ПО ЗАБИВКЕ СВАЙ В БЛИЗИ ЗДАНИЙ, СООРУЖЕНИЙ  
И ПОДЗЕМНЫХ КОММУНИКАЦИЙ**

**Уфа 1983**

Настоящие Рекомендации разработаны Научно-исследовательским институтом промышленного строительства (НИИпромстрой) Минпромстроя СССР по результатам теоретических и экспериментальных исследований НИИпромстроя, а также с использованием материалов Всесоюзного научно-исследовательского института гидромеханизации, санитарно-технических и специальных строительных работ (ВНИИГС) и Государственного института по проектированию оснований и фундаментов (ГПИ Фундаментпроект) Минмонтажспецстроя СССР, приведенных в "Инструкции по забивке свай вблизи зданий и сооружений" ВСН 358-76 Минмонтажспецстроя СССР.

Рекомендации составлены кандидатами технических наук Зиязовым Я.Ш. и Ковалевым В.Ф. при участии инженера Янышева Г.С.



Научно-исследовательский институт промышленного строительства (НИИпромстрой), 1983 г.

## 1. ОБЩИЕ ПОЛОЖЕНИЯ

1.1. Настоящие рекомендации распространяются на забивку свай, шпунта и штампов для образования скважин в грунте (под штампованием свай) вблизи зданий, сооружений и подземных коммуникаций.

1.2. Свайные фундаменты вблизи зданий, сооружений и подземных коммуникаций следует проектировать согласно требованиям действующих нормативных документов по свайным фундаментам с учетом:

а) результатов инженерно-геологических изысканий площадки строительства;

б) характеристик и назначения существующих зданий, сооружений и подземных коммуникаций, их конструкции и состояния, полученных обследованием в соответствии с гл.5;

в) параметров колебаний грунта, ожидаемых при забивке свай, шпунта и штампов;

г) безопасных расстояний  $Z_s$  до зданий, сооружений и подземных коммуникаций, установленных в соответствии с указаниями глав 2 и 3.

1.3. Целесообразность применения забивных свай, шпунта и штампованием свай на расстоянии  $Z < Z_s$  от существующих зданий, сооружений и подземных коммуникаций решается путем технико-экономического расчета с учетом дополнительных затрат на измерения по гл.4, пробное погружение свай, наблюдения за осадками фундаментов и на мероприятия по снижению уровня колебаний в соответствии с указаниями гл.6.

1.4. Допускается уменьшение безопасных расстояний, определенных по главам 2 и 3, при забивке свай, шпунта или штампов вблизи:

а) сейсмостойких зданий, сооружений и подземных коммуникаций;

б) зданий и сооружений, которые в процессе эксплуатации испытывают колебания большей интенсивности, чем от забивки свай;

в) зданий и сооружений, фактические осадки, относительные деформации и крены фундаментов которых значительно меньше, чем допустимые по СНиП на проектирование оснований зданий и сооружений

## 2. ОПРЕДЕЛЕНИЕ БЕЗОПАСНЫХ РАССТОЯНИЙ ДО ЗДАНИЙ И СООРУЖЕНИЙ ПРИ ЗАБИВКЕ СВАЙ (ШПУНТА, ШТАМПОВ)

2.1. Безопасные расстояния до зданий и сооружений при забивке свай (шпунта, штампов) определяются с учетом следующих требований:

а) здания и сооружения не должны получать дополнительных осадок и кренов фундаментов, а также деформаций и повреждений, превышающих предельно допустимые их значения;

б) уровень колебаний фундаментов не должен превышать значений, допустимых для приборов, машин и технологического оборудования, а также требований санитарных норм.

2.2. Для зданий и сооружений, дополнительные осадки или кроны фундаментов которых не допустимы, безопасные расстояния определяются из условия

$$z > z_g, \quad (1)$$

где  $z$  – минимальное расстояние от края фундамента здания до свай, шпунта, штампа;  
 $z_g$  – безопасные расстояния, определяемые в соответствии с п. 4.10, а для предварительной оценки принимаемые по табл. 1.

Таблица 1

Характеристики грунтов основания	Безопасные расстояния (м) до зданий и сооружений при забивке свай сечением, см		
	20x20	30x30	40x40
<b>Суглиники и глины</b>			
твердые	1,2	1,8	2,4
полутвердые	1,3	1,9	2,5
тугопластичные	1,2	1,8	2,4
мягкопластичные	1,1	1,7	2,3
Супесь пластичная	5,0	7,0	10,0
Пески мелкие	3,5	5,0	7,0

2.3. Для зданий и сооружений, в конструкциях которых не допускаются раскрытия трещин, безопасные расстояния определяются из условия (1), принимая  $z_g$  по табл. 2. При

Таблица 2

Наименование, конструктивные особенности и тип зданий и сооружений	Состояние зданий и сооружений до забивки свай	Безопасные расстояния (м) от края фундамента до свай в зависимости от грунтов основания									
		глины и суглинки				пески				супесь	
		твёрдые и полутвердые	тугопластичные	мягкопластичные	текучепластичные	средней крутизни	крупные	мелкие плотные и сралоты	пылеватые плотные	пластичная и текучая	
Каркасные стальные и монолитные железобетонные здания	Повреждений нет  Трешины в стыках и кладке заполнения до 10 мм, по контуру перегородок в узлах при опорных частях ригелей.  Ширина раскрытия трещин в несущих конструкциях 0,5–1,0 мм	7,0  12,0	4,0  6,0	2,0  2,0	2,0  2	2  2	2  2	6  10	5  8		
Кирличные, железобетонные каркасные рамной конструкции и панельные здания	Повреждений нет  Трешины в стыках по контуру перегородок, в штукатурке и в кладке заполнения до 10 мм. Трешины в углах проемов, в местах сопряжения стен, в углах, в	12,0	6,0	3,0	3	2	2	13	10		

Таблица 2

Наименование, конструктивные особенности и тип зданий и сооруже- ний	Состояние зданий и сооружений до заби- вки свай	Безопасные расстояния (м) от края фундамента до свай в зависимости от грунтов основания							
		глины и суглинки		пески		супесь			
твердые и естественные	тугопластич- ные	мягкие и текучие	жидкие	средней вязкости и плот-	жидкие плот- ные и супесь	плотные	пластичные и текучие		
конструкциях стен и пере- городок. Ширина раскры- тия трещин в несущих конструкциях кирпичных зданий до 2,0 мм, каркас- ных и монолитных 0,5- 1,0 мм		15,0	8,0	6,0	3,0	2	2	13	10
Выкрашивание раствора из стыков плит, откалыва- ния штукатурки и трещины в перегородках. Сквозные трещины в кирпичных стенах и трещины от уг- лов проемов во внешнем слое панелей. Глубокие трещины в кирпичных сте- нах до 2,0-5,0 мм, в панелях 0,5-2,0 мм		15	8	6	3	2	2	13	10

Таблица 2

Наименование, конструктивные особенности и тип зданий и сооружений	Состояние зданий и сооружений до забивки свай	Безопасные расстояния (м) от края фундамента до свай в зависимости от грунтов основания								
		глины и суглинки				пески			супесь	
		твёрдые и полутвёрдые	тугопластичные	мягкопластичные	текущие	средней крупности и	крупные	мелкие и срлюют.	пылеватые	плотные
Кирпичные и блочные здания с фундаментами разной глубины заложения со сквозными проездами, арочными и клетчатыми перемычками с деревянными перекрытиями и т.п.	Повреждений нет	18	10	6	3	3	3	3	13	10
	Гречины по контуру пегородок, в штукатурке и в кирпичных стенах шириной до 2,0 мм, в углах проемов и местах сопряжения стен	18	10	9	6	3	4	20	20	
	Выкрашивание раствора из стыков плит покрытий, сквозные трещины в кирпичных стенах до 2,0-5,0 мм	20	14	13	6	4	7	20	20	

необходимости погружения свай больших сечений в другие грунтовые условия или на расстояния, меньше указанных в табл.2, безопасные расстояния определяются из условия

$$U < U_g, \quad (2)$$

где  $U_g$  – допустимая скорость колебаний грунта в основании фундаментов, принимаемая в зависимости от типа зданий или сооружений и грунта по табл. 3.

$U$  – скорость колебаний грунта в основании фундаментов зданий и сооружений, возникающая при забивке свай и определяемая по формуле

$$U = 2\pi A_z f, \quad (3)$$

$A_z, f$  – амплитуда (см) и частота (Гц) колебаний грунта на поверхности, определяемые экспериментально в соответствии с п.4.4.

2.4. При наличии в зданиях приборов, машин и оборудования, чувствительных к колебаниям, безопасные расстояния до фундаментов зданий или оборудования определяются по табл.4. При необходимости погружения свай больших сечений в другие грунтовые условия или на расстояния, меньше указанных в табл.4, безопасные расстояния определяются по условию

$$K_o U < U_{gt}, \quad (4)$$

где  $K_o$  – коэффициент передачи колебаний грунта фундаменту оборудования, определяемый в соответствии с п.4.6, а для предварительных расчетов принимается  $K_o = 1$ ;

$U_{gt}$  – допустимая скорость колебаний фундамента, принимаемая в зависимости от класса машин, приборов и оборудования по табл.5;

$U$  – то же, что и в п.2.3.

2.5. При забивке свай со дна котлована безопасные расстояния до зданий и сооружений определяются из условий пп.2.2–2.4 и чтобы минимальное расстояние  $\ell_m$  от ближайшего края котлована (по дну) до края подошвы фундамента было

$$\ell_m \geq \frac{\Delta h}{tg K_s \varphi + \frac{c}{P_s}}, \quad (5)$$

Таблица 3

Наименование, конструктивные особенности и тип зданий и сооружений	Состояние зданий и сооружений до забивки свай	Допустимые скорости колебания грунтов в см/с		различных
		пески гравелистые крупные и средней крупности; плотные глины и суглинки $0 \leq J_L \leq 0,5$	пески гравелистые, крупные и средней плотности, средней плотности и мелкие плотные; супеси твердые; глины и суглинки насыпные $0,5 < J_L \leq 0,75$ однородные	
Каркасные, стальные и монолитные железобетонные здания	Повреждений нет	6,0	4,5	1,5
	Трешины в стыках и кладке заполнения до 10 мм, по контуру перегородок, в узлах, приморенных частях ригелей, в конструкциях стен и перекрытий. Ширина раскрытия трещин в несущих конструкциях 0,5–1,0 мм	4,0	2,5	1,0

Таблица 3

Наименование, конструктивные особенности и тип зданий и сооружений	Состояние зданий и сооружений до забивки свай	Допустимые скорости колебания различных грунтов в см/с		
		пески гравелистые крупные и средней крупности; плотные глины и суглинки $0 \leq J_L \leq 0,5$	пески гравелистые, крупные и средней плотности, средней плотности и мелкие плотные; супеси твердые; глины и суглинки насыпные $0,5 < J_L \leq 0,75$ однородные	пески крупные, рыхлые, мелкие, средней плотности пылеватые, заторфованные; супеси; пластичные и текучие ильи, глины и суглинки $0,75 < J_L \leq 1$ водонасыщенные и насыпные неоднородные

Кирпичные, железобетонные каркасные рамной конструкции и панельные здания. Сооружения башенного типа	Повреждений нет  Трешины в стыках, по контуру перегородок, в штукатурке и в кладке заполнения дс 10 мм. Трешины в углах проемов в местах сопряжения стен, в узлах, в конструкциях стен и перегородок. Ширина раскрытия трещин в несу-	4,0	2,0	0,7
---	---	-----	-----	-----

Таблица 3

Наименование, конструктивные особенности и тип зданий и сооружений	Состояние зданий и сооружений до забивки свай	Допустимые скорости колебания грунтов в см/с		различных
		пески гравелистые крупные и средней крупности; плотные глины и суглинки $0 \leq J_L \leq 0,5$	пески гравелистые, крупные и средней плотности, средней плотности и мелкие плотные; супеси твердые; глины и суглинки насыпные $0,5 < J_L \leq 0,75$ однородные	
	щих конструкциях кирпичных зданий до 2,0 мм, каркасных и монолитных 0,5-1,0 мм.		3,0	1,0
	Выкрашивание раствора из стыков плит, откалывание штукатурки и трещины в перегородках. Сквозные трещины в кирпичных стенах и трещины от углов проемов во внешнем слое панелей.		3,0	0,7
	Раскрытие трещин в кирпичных стенах до 2,0-5,0 мм, в панелях 0,5-2,0 мм		1,0	0,7

Таблица 3

Наименование, конструктивные особенности и тип зданий и сооружений	Состояние зданий и сооружений до забивки свай	Допустимые скорости колебания различных грунтов в см/с		
		пески гравелистые крупные и средней крупности; плотные глины и суглинки $0 \leq J_L \leq 0,5$	пески гравелистые, крупные и средней плотности и мелкие плотные; супеси твердые; глины и суглинки насыпные $0,5 < J_L \leq 0,75$ однородные	пески крупные, рыхлые, мелкие, средней плотности пылеватые, затягивающие; супеси; пластичные и текучие илья, глины и суглинки $0,75 < J_L \leq 1$ водонасыщенные и насыпные неоднородные

Кирпичные и блочные здания с фундаментами разной глубины захоронения со сквозными проездами, арочными и линчатыми перекрытиями, с деревянными перекрытиями и т.п.	Повреждений нет	2,0	1,0	0,7
	Трешины по контуру перегородок, в штукатурке и кирпичных стенах до 2,0 мм, в углах проемов и местах сопряжения стен	2,0	0,7	0,4
	Выкрашивание раствора из стыков плит перекрытий, сквозные трещины в кирпичных стенах до 2,0-5,0 мм	1,5	0,4	0,4

Таблица 4

Класс машин, оборудования и приборов по чувствительности (см. табл.5)	Безопасные расстояния (м) до фундаментов оборудования при забивке свай сечением 30x30 см в зависимости от грунтов основания								
	глины и суглиники				пески			супесь пластичная и текучая	
	твёрдые и полу-твёрдые	туго-пластичные	мягко-пластичные	текуче-пластичные	средней крупности	мелкие плотные и средней плотности	пылеватые и средней плотности		
ст	1	85	80	60	45	65	55	80	95
	П	70	70	50	30	50	45	65	75
	Ш	60	60	40	20	40	30	50	60
	гу	50	40	25	12	25	18	35	40
	у	40	30	15	7	15	9	25	25
	у1	25	17	6	2	6	2	9	7
	УП	20	<17	<6	<2	<6	<2	<9	<7

Таблица 5

Класс машин, оборудования и приборов по чувствительнос- ти к гармониче- ским колебаниям основания	Наименование машин, оборудования и приборов	Допустимая амплитуда скорости колебаний для частот 1-100 Гц, мм/с
	Сверхвысоковольтные электронные микроскопы с ускоряющим напряжением 500 кВ и выше. Электронные микроскопы с разрешаемым расстоянием 2-3 Å и менее. Эталонные интерферометры и интерференционные установки для абсолютных измерений длины в длинах волн. Интерференционные компараторы. Интерферометры с автоматическим счетом интерференционных полос	0,0315
	Лазерные интерферометры. Интерферометрические столы длиной более 2 м для проведения голографических и интерференционных исследований. Приборы и оборудование для записи голографических дифракционных решеток. Оптические скамьи длиной более 5 м. Интерференционные установки длиной более 5 м и состоящие из двух и более раздельно устанавливаемых частей. Спектральные приборы с фокусным расстоянием более 5 м. Сптические и контактные профиломеры и профилографы 1 группы. Делительные машины для изготовления дифракционных решеток	

Таблица 5

Класс машин, оборудования и приборов по чувствительнос- ти к гармониче- ским колебаниям основания	Наименование машин, оборудования и приборов	Допустимая амплитуда скорости колебаний для частот 1-100 Гц, мм/с
II  III  IV  V	Электронные микроскопы с разрешаемым расстоянием 4-7 Å и более. Гастровые электронные микроскопы. Электронно-зондовые приборы для измерений и анализа изображений. Сборудование электронной промышленности: фотоповторители, установки совмещения и экспонирования, электронно-лучевые установки для прецизионной электронной литографии, установки для термокомпрессионной или импульсной микросварки, а также аналогичные им установки для микросварки и пайки. Бесконтактные интерферометры для измерений относительным методом. Фотоэлектрические интерферометры для проверки штриховых мер. Стационарные специализированные приборы на основе голографии. Компараторы. Измерительные машины длиной более 1 м. Установки для проверки долемикрометровых головок. Приборы для контроля линейных размеров с электронным индикатором контакта с ценой деления менее 0,1 мкм. Оптические скамьи длиной до 5 м. Эталонные установки для измерения плоского угла. Автоколлиматоры с ценой делений 0,5" и менее. Гониометры с погрешностью измерения 1" и менее. Экзаменаторы с ценой деления	0,1

Таблица 5

Класс машин, оборудования и приборов по чувствительнос- ти к гармониче- ским колебаниям основания	Наименование машин, оборудования и приборов	Допустимая амплитуда скорости колебаний для частот 1-100 Гц, мм/с
0,1°. Кругломеры. Сферометры. Весы лабораторные образцовые 1а, 1-го и 2-го разрядов, лабораторные рычажные 1-го и 2-го классов точности. Торсионные весы. Особо точные продольные и круговые делительные машины. Ультра - микротомы. Металлорежущие станки особо высокой точности шлифовальной группы с направляющими качения. Тяжелые высокоточные зуборезерные станки, мастер-станки и т.п. Плавильные печи для выращивания кристаллов. Поливные машины для нанесения эмульсионных слоев.		
III	Оптикаторы, оптические длиномеры, ультраоптиметры, измерительные машины длиной до 1 м, катетометры, контактные интерферометры. Приборы для контроля линейных размеров с электронным индикатором контакта с ценой деления 0,1 - 0,5 мкм. Растворные измерительные микроскопы. Микроинтерферометры. Приборы светового свечения. Приборы для контроля цилиндрических зубчатых колес. Спектрографы. Спектрометры. Спектрофотометры. Массспектрометры. Радиоспектрометры ядерного магнитного резонанса, электронного парамагнитного	0,315

Таблица 5

Класс машин, оборудования и приборов по чувствительнос- ти к гармониче- ским колебаниям основания	Наименование машин, оборудования и приборов	Допустимая амплитуда скорости колебаний для частот 1-100 Гц, мм/с
резонанса и т.п. Микрофотометры. Фотоэлектрические по- ляrimетры. Фотоэлектрические усилители. Прецизионные металлорежущие станки средних размеров: внутришлиро- вальные, круглошлифовальные с направляющими скольже- ния, плоскошлифовальные, координатно-расточные и т.п.		
1У	Инструментальные микроскопы. Универсальные измери- тельные микроскопы. Оптиметры. Приборы для контроля линейных размеров с электронным индикатором контакта с ценой деления 0,5 мкм. Пневматические длиномеры вы- сокого давления (ротаметры). Измерительные пружинные головки (микрокаторы). Измерительные рычажно-пружин- ные головки бокового действия (миникаторы). Балансиро- вочные станки. Прецизионные металлорежущие станки средних размеров: отделочные токарные, алмазно-расточ- ные. Координатно-расточные станки небольших размеров и т.д.	1,0
	Печатные машины. Оборудование для изготовления стерео- тильных матриц. Переплетное оборудование. Прядильные ма-	3,15

Таблица 5

Класс машин, оборудования и приборов по чувствительнос- ти к гармониче- ским колебаниям основания	Наименование машин, оборудования и приборов	Допустимая амплитуда скорости колебаний для частот 1-100 Гц, мм/с
у1	шины. Ткацкие станки. Швейные машины. Токарные, фре- зерные, сверлильные и другие металлорежущие станки нормальной точности и т.п.	10
и	Турбоагрегаты, турбогенераторы мощностью до 100 тыс. кВт, турбокомпрессоры, турбовоздуходувки, турбонасосы, электрические машины, мотор-генераторы, синхронные компенсаторы, центрифуги, центробежные насосы, дизели, поршневые компрессоры, моторы (компрессоры, лесопиль- ные рамы, локомобили и т.п.*). Ленточные, пластинчатые и скребковые конвейеры. Пускатели механизмов и аналогич- ная им аппаратура электроавтоматики.	
о		
и		

\* При частоте вращения до 480 об/мин допускается  
эксплуатационная амплитуда перемещения 0,31 мм.  
При частоте вращения более 480 об/мин допускае-  
мая эксплуатационная амплитуда скорости колебания  
составляет 15 мм/с.

Таблица 5

Класс машин, оборудования и приборов по чувствительнос- ти к гармониче- ским колебаниям основания	Наименование машин, оборудования и приборов	Допустимая амплитуда скорости колебаний для частот 1-100 Гц, мм/с
---	---	--

УП      Вентиляторные установки\*. Дымососы. Дробильное оборудо-  
вание. Виброплощадки. Вибрационные грохоты. Вибраци-  
онные сепараторы (рассеяны) и т.п.      Более 10

\* Для дымососов допускаемые амплитуды перемещения и  
скорости колебаний основания могут быть приняты анало-  
гично вентиляторным установкам.

где  $P_{ср}$  – среднее давление под подошвой фундамента;  
 $\Delta h$  – разность отметок подошвы фундамента и дна котлована (траншеи);  
 $\varphi, c$  – расчетные значения угла внутреннего трения и удельного сцепления грунта, принимаемые по СНиП на проектирование оснований зданий и сооружений;  
 $K_t$  – поправочный коэффициент к углу внутреннего трения грунта, принимаемый по табл. 6 в зависимости от скорости колебаний грунта в основании фундамента  $v$ .

Таблица 6

$v, \text{ см/с}$	$K_t$
0	1,00
0,32	0,80
0,63	0,68
0,95	0,64
1,27	0,60
$> 1,27$	0,60

2.6. Безопасные расстояния до зданий и сооружений, у которых допустимы дополнительные осадки или кроны фундаментов, определяются из условия

$$S_{cr} + \Delta S < S_g, \quad (6)$$

где  $S_{cr}$  – осадка или крен фундамента до забивки свай, устанавливаемые путем обследования в соответствии с п. 5.3;  
 $S_g$  – предельная осадка или крен фундамента, принимаемые по СНиП на проектирование оснований зданий и сооружений;  
 $\Delta S$  – дополнительная осадка или крен фундамента при забивке свай, определяемые в соответствии с п. 4.5.

2.7. При определении безопасных расстояний для промышленных зданий необходимо учитывать допустимые величины параметров по санитарным нормам проектирования промышленных предприятий.

### 3. ОПРЕДЕЛЕНИЕ БЕЗОПАСНЫХ РАССТОЯНИЙ ДО ПОДЗЕМНЫХ КОММУНИКАЦИЙ Г.Р.И ЗАБИВКЕ СВАЙ (ШПУНТА, ШТАМПОВ)

3.1. Минимальные расстояния до подземных коммуникаций по условиям нормальной эксплуатации возводимых зданий и сооружений вблизи коммуникаций определяются в соответствии с главой СНиП по проектированию генеральных планов промышленных предприятий.

3.2. Для стальных напорных подземных трубопроводов безопасные расстояния при забивке свай определяются по табл. 7. При необходимости погружения свай больших сечений, в другие грунтовые условия, на расстояния, меньше указанных в табл. 7, или при больших внутренних давлениях безопасные расстояния определяются из условий

$$\left. \begin{aligned} \sigma_A = \sigma_0 + \sigma' + \sigma_3 &\leq R_2; \\ \sigma_B = \sigma_0 + \sigma' + \sigma_2 &\leq R_2, \end{aligned} \right\} \quad (7)$$

$$\left. \begin{aligned} \sigma' = \frac{M'}{W}; \quad \sigma' = \frac{M'}{W}; \\ \sigma_2 = \frac{M_2}{W}; \quad \sigma_3 = \frac{M_3}{W}, \end{aligned} \right\} \quad (8)$$

где  $\sigma_{A,B}$  - суммарные осевые напряжения от статических и динамических нагрузок в точках А и Б попечного сечения трубопровода (рис. 1);

$\sigma_0$  - осевые напряжения в материале трубопровода от давления засыпки траншеи, давления транспортируемых материалов и температурных деформаций;

$M', \sigma', M_2, \sigma_2$  - изгибающие моменты и напряжения, возникающие в трубопроводе при колебаниях грунта в основании соответственно в вертикальной и горизонтальной плоскостях;

$M_3, \sigma_3$  - изгибающий момент и напряжение, возникающие при изгибе трубопровода от давления вытесняемого стволов свай грунта;

$M_3, \sigma_3$  – изгибающий момент и напряжение, возникающие при изгибе трубопровода от виброуплотнения основания;

$R_2$  – расчетное сопротивление материала трубопровода растяжению и сжатию при изгибе;

$W$  – момент сопротивления сечения трубопровода.

Расчет усилий, возникающих в стальных подземных трубопроводах при забивке свай, производится в соответствии с приложением 1.

Схема осевых напряжений в сечении трубопровода

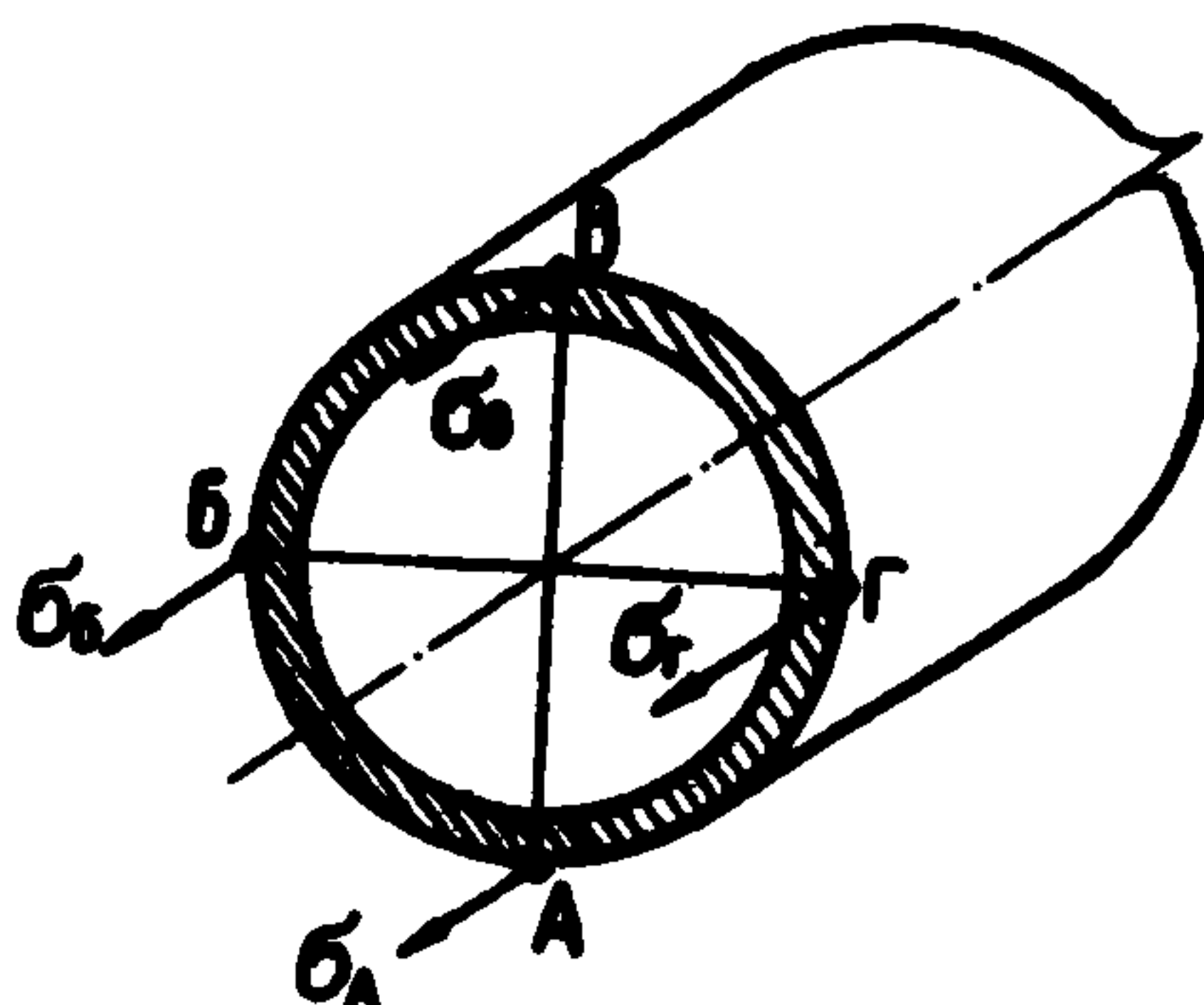


Рис.1

3.3. Для составных ненапорных подземных трубопроводов безопасные расстояния при забивке свай определяются из условия, что трубопровод находится за пределами зоны деформации грунта вокруг свай (табл.8). При необходимости погружения свай больших сечений или в других грунтовых условиях радиус зоны деформации грунта определяется экспериментально в соответствии с п.4.8.

3.4. При погружении свай, шпунта или штампов со дна котлована и залегании коммуникаций выше его уровня безопасные расстояния определяются по формуле (5).

Таблица 7

Характеристика грунтов	Безопасные расстояния (м) при забивке свай сечением 30x30 см для стальных газопроводов и паропроводов при внутреннем давлении, МПа			
	0	0,5	1,0	2,0
Глины и суглинки				
твёрдые	1,8	1,8	1,8	2,0
полутвёрдые	2,7	3,0	3,4	3,8
тугопластичные	2,0	2,4	2,7	3,2
мягкопластичные	1,7	1,7	1,7	2,0
Супесь пластичная	2,3	2,4	2,7	3,2
Пески мелкие	2,3	2,3	2,4	2,8

Таблица 8

Характеристика грунтов	Радиус зоны деформации грунта (м) при забивке свай сечением, см.		
	20x20	30x30	40x40
Глины и суглинки			
твёрдые	1,2	1,6	2,4
полутвёрдые	1,3	1,9	2,5
тугопластичные	1,2	1,8	2,4
мягкопластичные	1,1	1,7	2,3
Супесь пластичная	1,5	2,3	3,1
Пески мелкие	1,5	2,2	3,1

#### 4. ИЗМЕРЕНИЕ ПАРАМЕТРОВ КОЛЕБАНИЙ И ДЕФОРМАЦИЙ ГРУНТА ПРИ ЗАБИВКЕ СВАЙ (ШПУНТА, ШТАМПА)

4.1. При необходимости устройства свайных фундаментов на расстоянии  $Z < Z_g$  от существующих зданий, сооружений и подземных коммуникаций измеряются параметры колебаний грунта и фундаментов и деформаций основания при забивке не менее трех пробных свай. Масса молота и размеры свай должны соответствовать принятым в проекте строительства.

4.2. Для измерения параметров колебаний грунта и фундаментов следует применять виброметрическую аппаратуру, предназначенную для измерения смещений в диапазоне частот от 2 до 30 Гц (например, сейсмоприемники СВ-5 и СГ1-10 в комплекте с осциллографом Н700, отградуированные по перемещению).

4.3. Вибродатчики устанавливаются на поверхности грунта с удалением от свай, в скважины глубиной, равной глубине залегания подземных коммуникаций, и на фундаменты существующих зданий и сооружений. Вертикальные и горизонтальные составляющие колебаний грунта регистрируются одновременно в процессе забивки свай на проектную глубину.

4.4. При записи колебаний на светолучевой осциллограф частота колебаний грунта  $f$  вычисляется по формуле

$$f = \frac{1}{2\tau}, \quad (9)$$

где  $\tau$  – полупериод колебаний при максимальной амплитуде, определяемой по осциллограмме.

Амплитуда колебаний грунта определяется по формуле

$$A_2 = \frac{A_{oc}}{\sigma(f)}, \quad (10)$$

где  $A_{oc}$  – максимальная амплитуда колебаний грунта, принимаемая по осциллограмме (половина наибольшего размаха);

$\sigma(f)$  – коэффициент увеличения канала на частоте  $f$ , определяемый градуировкой.

Результаты измерений представляются в виде зависимости амплитуды и скорости колебаний грунта от расстояния.

4.5. При появлении осадок и кренов фундаментов при погружении вблизи них пробных свай строятся графики зависимостей осадки и крена от расстояния для каждой точки фундамента. По этим графикам определяются безопасные расстояния  $z_g$ , а также возможные осадки и кроны фундаментов при забивке свай. Дополнительные осадки и кроны  $\Delta S$  вычисляются в сторону завышения по формуле

$$\Delta S = \sum_{i=1}^n \Delta S_i, \quad (11)$$

где  $n$  – количество свай, погружаемых в пределах опасной зоны ( $z < z_g$ );

$\Delta S_i$  – осадки или кроны фундаментов при погружении  $i$ -й сваи на расстоянии  $z_i$ , принимаемые по экспериментальному графику (рис.2).

Зависимость осадки фундамента  $\Delta S$  от расстояния до забиваемой сваи  $z$

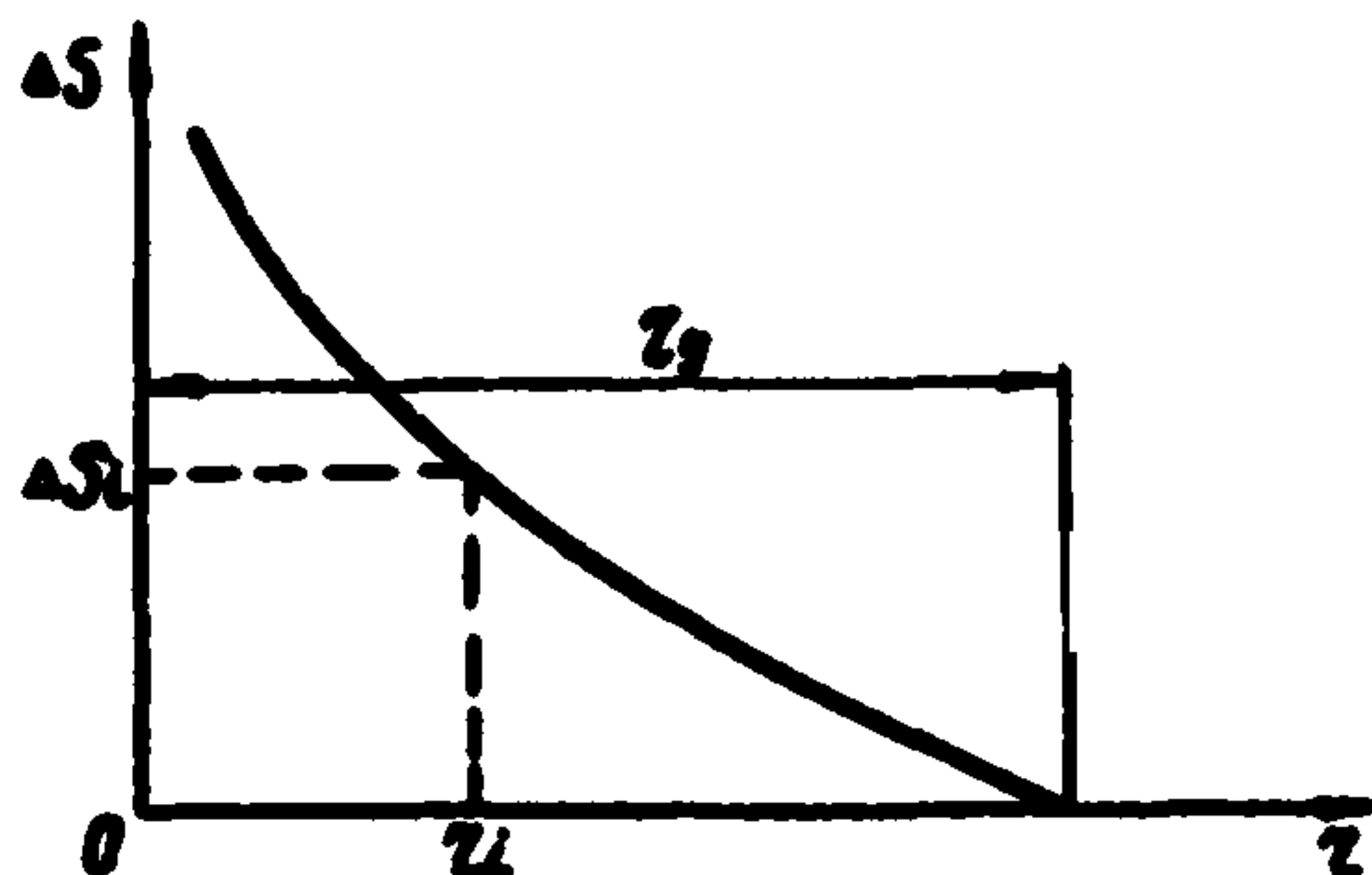


Рис. 2

4.6. Коэффициент передачи колебаний грунта зданию или фундаменту оборудования  $K_o$  определяется по формуле

$$K_o = \frac{A_f}{A_p}, \quad (12)$$

где  $A_g$  и  $A_f$  - амплитуды колебаний грунта и фундамента.

4.7. Коэффициент затухания колебаний грунта  $\zeta$  определяется по формуле

$$\zeta = \frac{1}{\zeta_0} \left( \ln \frac{A_0}{A_z} - \frac{1}{2} \ln \frac{\zeta_0}{\zeta} \right), \quad (13)$$

где  $A_0$  и  $A_z$  - амплитуды колебаний грунта на расстояниях  $\zeta_0$  и  $\zeta$ ;

$\zeta$  и  $\zeta_0$  следует принимать соответственно 15-20 и 3-4 м.

4.8. Радиус зоны деформации грунта при погружении свай  $\zeta$ , определяется по перемещениям грунтовых марок, устанавливаемых на различных расстояниях от свай в радиальном направлении с шагом 0,5 поперечного сечения свай (рис.3).

Схема измерения радиуса  $\zeta$ , зоны деформации грунта с помощью грунтовых марок

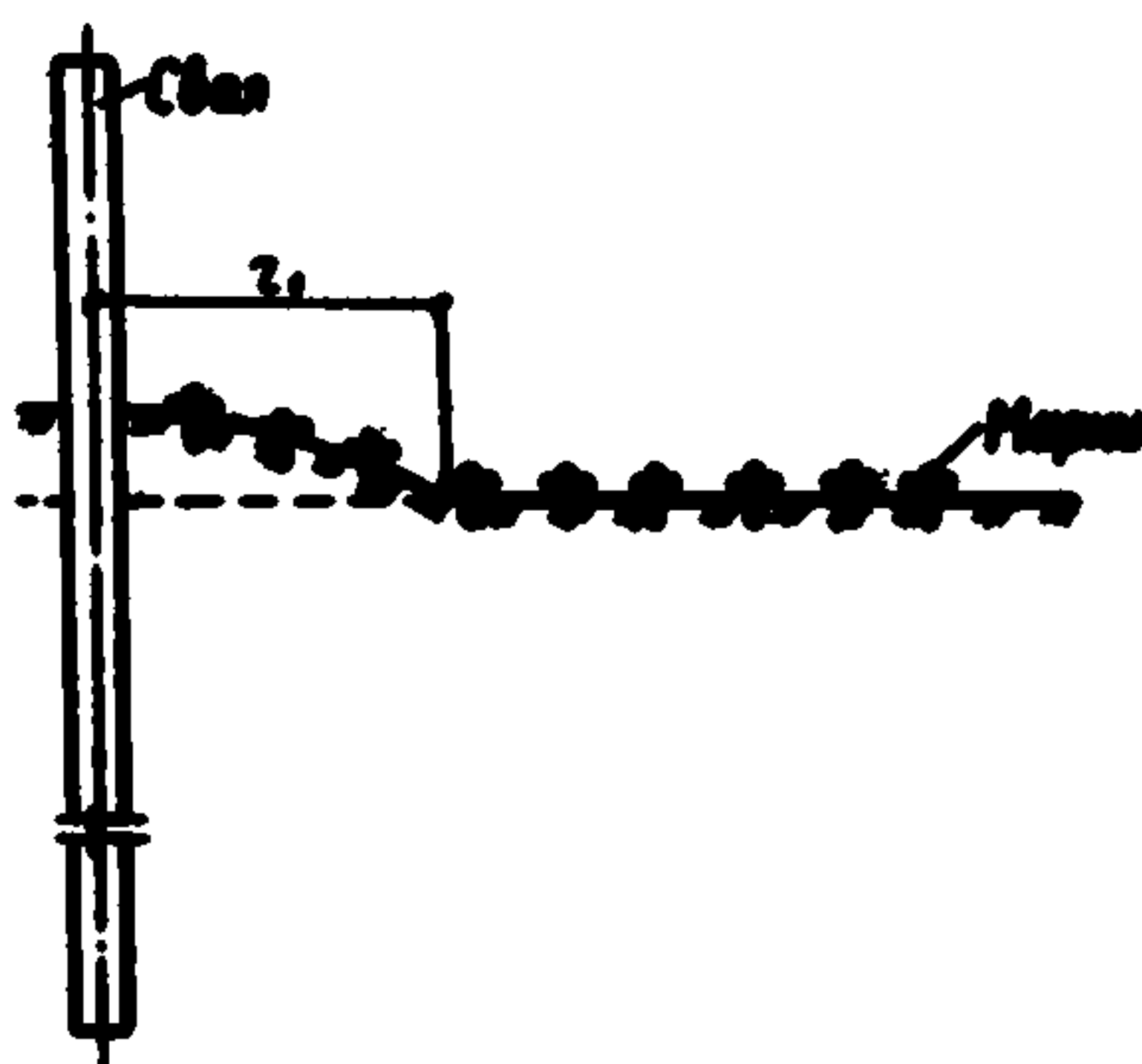


Рис.3

4.9. Величина осадки или выпора грунта  $u_s$  в основании трубопровода при забивке свай определяется по осадкам или подъему моделей нагруженных штампов (не менее трех), создающих давление на грунт, равное бытовому на глубине залегания трубопровода, и устанавливаемых на различных расстояниях от забиваемой свай после срезки верхне-

го растительного слоя грунта.

**4.10.** Безопасные расстояния до зданий и сооружений, для которых недопустимы дополнительные осадки или крены фундаментов, определяются по осадкам моделей штампов или свай (в зависимости от типа фундаментов окружающих зданий и сооружений), устанавливаемых на различных расстояниях от забиваемой сваи и загруженных постоянной нагрузкой, создающей на основание одинаковое давление с фундаментом существующих зданий. За безопасное расстояние до зданий и сооружений принимается то расстояние, на котором дополнительные осадки или перемещения свай (штампов) равны нулю.

## **5. ОБСЛЕДОВАНИЕ ЗДАНИЙ, СООРУЖЕНИЙ, ПОДЗЕМНЫХ КОММУНИКАЦИЙ И НАБЛЮДЕНИЯ ЗА ИХ СОСТОЯНИЕМ ПРИ ЗАБИВКЕ СВАЙ**

**5.1.** На стадии проектирования должны быть обследованы здания и сооружения, находящиеся на расстояниях  $Z < Z_g$  от точки погружения ближайшей сваи ( $Z_g$  принимается по табл. 1, 2).

**5.2.** Обследование производится проектной организацией с участием представителей организаций, эксплуатирующих существующее здание или сооружение.

**5.3.** Обследование включает:

а) оценку состояния зданий и конструкций, установление типа фундамента, несущей способности и нагрузки на фундамент;

б) сбор данных об инженерно-геологических условиях площадки, осадках и кренах фундаментов;

в) определение чувствительности приборов и оборудования к колебаниям.

По данным обследования составляется технический паспорт на каждое здание, сооружение и подземную коммуникацию в соответствии с приложением 2 и определяются безопасные расстояния.

**5.4.** При забивке свай на расстояниях  $Z < Z_g$  следует вести наблюдения за осадками, относительными деформациями и кренами фундаментов и стен зданий (сооружений), а также за раскрытием трещин в их конструкциях. Для этого применяются теодолиты и нивелиры первого класса точности, маяки или тензодатчики сопротивления.

**5.5.** Осадочные марки следует устанавливать на ближайших к погружаемым сваям частях фундаментов и зданий: на наружных продольных и поперечных стенах с шагом не более 6 м, в углах и местахстыковки стен с двух сторон осадочного шва и на колоннах. Нивелирование проводится по осадочным маркам до и после погружения каждой сваи.

**5.6.** Для наблюдения за деформациями конструкций могут быть использованы маяки, устанавливаемые на имеющиеся в конструкциях трещины. Наблюдения производятся через каждый метр погружения свай.

**5.7.** Нивелирование, ведение технической документации, обработка материалов наблюдений производится в соответствии с требованиями ГОСТ 24846-81.

**5.8.** В журнале наблюдений должны быть указаны план погружения, сечение и длина свай, тип молота и высота подъема ударной части, глубина погружения и отказы свай, количество ударов молота на каждый метр погружения, а также осадки марок при погружении каждой сваи, схемы раскрытия трещин и сведения об их состоянии.

## **6. ПРОИЗВОДСТВО СВАЙНЫХ РАБОТ В БЛИЗИ ЗДАНИЙ, СООРУЖЕНИЙ И ПОДЗЕМНЫХ КОММУНИКАЦИЙ**

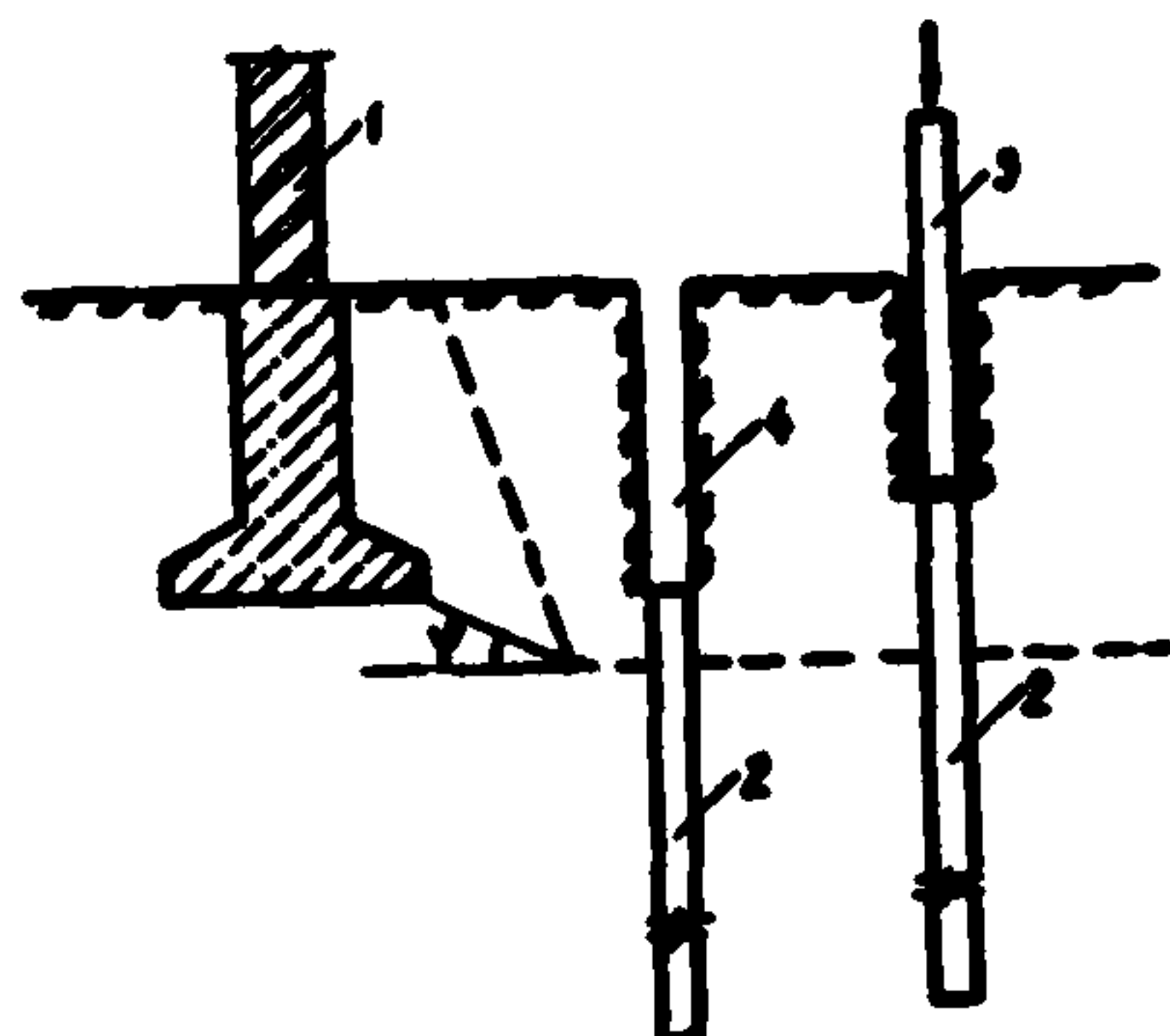
**6.1.** Выбор оборудования для погружения свай (шпунта, штампа ведение технической документации, контроль качества выполнения работ и несущей способности свай в процессе погружения, приемка свайных работ производятся в соответствии с требованиями СНиП на производство свайных работ.

**6.2.** Погружению свай на строительной площадке должны предшествовать все подготовительные работы в соответствии с проектом производства работ. Обязательным является уточнение местоположения подземных коммуникаций, находящихся на расстоянии  $Z \approx Z_g$  от свайного поля.

**6.3.** При погружении свай на расстоянии  $Z < Z_g$  от существующих зданий, сооружений и подземных коммуникаций проект производства работ должен быть согласован с организациями, эксплуатирующими данные объекты. Свай следует погружать при обязательном наблюдении за деформациями и осадками зданий и сооружений в соответствии с указаниями глав 4 и 5.

**Схема погружения свай вблизи здания (сооружения) до отколки котлована (разрез его показан пунктирной линией):**

**1 – здание; 2 – сваи; 3 – добойник; 4 – скважина**



**Рис.4**

**6.4. Погружение следует начинать с ближайших к зданиям и сооружениям свай.**

**6.5. При необходимости погружения свай на расстояниях  $\gamma < \gamma_g$  от подземных трубопроводов и если при погружении пробных свай будут выявлены недопустимые деформации или обнаружены трещины в конструкции здания, то следует предусмотреть меры по снижению интенсивности колебаний грунта.**

**Для этого необходимо:**

**а) сваи на расстоянии  $\gamma < \gamma_g$  от зданий и подземных трубопроводов погружать в буровые скважины диаметром, равным диаметру или минимальному поперечному размеру свай с пересчетом ее несущей способности;**

**б) уменьшить сечение и длину свай за счет увеличения общего их количества в основании строящегося фундамента;**

в) снизить сопротивление погружению свай по боковой ее поверхности за счет применения тиксотропной рубашки, полимерной обмазки и т.п.;

г) заменить цельные забивные сваи на буронабивные или комбинированные, состоящие из последовательно погружаемых забивных элементов;

д) погружать сваи вдавливанием;

е) произвести откопку и устройство песчаной засыпки до верха трубопровода.

6.6. При необходимости погружения свай со дна котлована и на расстоянии  $Z < Z_g$  от зданий, сооружений и подземных коммуникаций следует применять крепления откоса шпунтовым ограждением, стеной в грунте и т.п. Для уменьшения  $Z_g$  допускается погружать сваи с поверхности грунта с помощью добойника, после чего устраивается выемка (рис.4).

6.7. Конструкция и способ устройства свайных фундаментов должны приниматься на основании технико-экономических расчетов с учетом имеющихся механизмов и оборудования для их устройства.

6.8. В зимнее время забивку пробных свай следует производить в лидерные скважины диаметром, равным диаметру цилиндрических или диагонали призматических свай, разбуриваемые на глубину промерзания.

## Приложение 1

### СПРЕДЕЛЕНИЕ УСИЛИЙ В ПОДЗЕМНЫХ ТРУБОПРОВОДАХ ПРИ ЗАГИВКЕ СВАЙ

1. Максимальный изгибающий момент в подземном трубопроводе от колебаний грунта в основании при забивке свай возникает в ближайшем к погружаемой свае сечении трубопровода и определяется по формуле

$$\left. \begin{aligned} M_1^s &= \frac{EJ \cdot A^s}{2z^2} (1 + 2z\alpha) \\ M_1^r &= \frac{EJ \cdot A^r}{2z^2} (3 + 2z\alpha) \end{aligned} \right\} \quad (1)$$

где  $EJ$  - жесткость трубопровода при изгибе;

$z$  - минимальное расстояние между осями трубопровода и свай;

$A^s, A^r$  - максимальные амплитуды колебаний грунта в основании трубопровода в вертикальной и горизонтальной плоскостях, определяемые экспериментально в соответствии с п.4.4, для предварительных расчетов принимаются по табл. 1;

$\alpha$  - коэффициент затухания колебаний грунта, определяемый экспериментально (п.4.7), для предварительных расчетов принимается по табл. 1.

2. При  $z > z_c = \frac{D_t}{2}$  максимальный изгибающий момент в трубопроводе от давления вытесняемого сваей грунта возникает в ближайшем к свае сечении и определяется по формуле

$$M_2 = \frac{\varPhi_r}{d_e d_o} z \rho (2d_o z, F_o - \frac{1}{2}), \quad (2)$$

где  $z$  - радиус зоны деформации грунта, принимается по табл.8 или определяется экспериментально (п.4.8);

$z_c$  - то же, что и в (1);

$\varPhi_r, d_e$  - диаметры трубопровода и свай;

Таблица 1

Характеристика грунтов	Коэффициент затухания $\alpha$ , $m^{-1}$	Амплитуда колебаний грунта в мм на расстоянии $z$ , м (сечение свай 30x30 см)					
		2	4	6	8	10	20
<b>Суглиники и глины</b>							
Твердые и полутвердые	0,09	1,61	0,94	0,64	0,45	0,35	0,1
тугопластичные	0,09	0,84	0,61	0,41	0,29	0,22	0,06
мягко- и текучепластичные	0,15	0,33	0,26	0,14	0,09	0,05	0,01
<b>Пески</b>							
крупные и средней крупности	0,08	0,24	0,14	0,10	0,07	0,06	0,02
мелкие плотные и средней плотности	0,05	0,51	0,32	0,24	0,19	0,15	0,06
сухие пластичная и текучая	0,05	0,78	0,49	0,36	0,28	0,23	0,12

Таблица 2

$\gamma, \text{ т/м}^3$	Коэф. боково-го давления грунта. $\zeta$	Давление грунта $P$ в $10^{-2}$ МПа при глубине залегания трубопровода, м							
		1,00	1,25	1,50	1,75	2,00	3,00	4,00	5,00
1,6	0,4	0,53	0,66	0,70	0,92	1,05	1,58	2,10	2,63
	0,5	0,66	0,82	0,98	1,15	1,31	1,97	2,62	3,28
	0,6	0,79	0,98	1,18	1,38	1,58	2,37	3,16	3,95
	0,7	0,92	1,15	1,38	1,61	1,84	2,76	3,67	4,39
	0,8	1,05	1,31	1,58	1,84	2,10	3,15	4,20	5,25
1,8	0,4	0,59	0,74	0,89	1,04	1,18	1,77	2,36	2,96
	0,5	0,74	0,92	1,11	1,30	1,48	2,21	2,95	3,69
	0,6	0,89	1,11	1,33	1,56	1,77	2,66	3,55	4,44
	0,7	1,03	1,29	1,55	1,81	2,07	3,10	4,13	5,17
	0,8	1,18	1,48	1,77	2,07	2,37	3,55	4,73	5,91

Таблица 3

		$L_0 \sqrt{z_i^2 - z^2}$												
		0,00	0,1	0,15	0,2	0,25	0,3	0,4	0,6	0,8	1,0	1,5	2,0	3,0
		Значения 2												
$z/z$		0,00	0,18	0,26	0,32	0,38	0,44	0,52	0,62	0,64	0,62	0,44	0,25	0,14
		Значения $F_0$												
1	1,1	0,44	0,40	0,38	0,36	0,34	0,32	0,29	0,23	0,18	0,14	0,08	0,03	0,003
	1,15	0,54	0,49	0,47	0,44	0,42	0,40	0,36	0,26	0,22	0,17	0,09	0,04	0,005
	1,2	0,62	0,56	0,54	0,51	0,48	0,46	0,41	0,33	0,26	0,20	0,10	0,05	0,007
	1,25	0,69	0,63	0,60	0,57	0,54	0,51	0,46	0,37	0,29	0,23	0,12	0,06	0,009
	1,8	1,20	1,09	1,04	0,99	0,95	0,90	0,82	0,67	0,54	0,44	0,25	0,13	0,04
	1,9	1,26	1,15	1,10	1,05	1,00	0,95	0,87	0,71	0,58	0,47	0,27	0,15	0,05
	2,1	1,37	1,26	1,20	1,15	1,10	1,05	0,95	0,79	0,64	0,52	0,30	0,18	0,06
	2,3	1,47	1,35	1,30	1,24	1,18	1,13	1,03	0,86	0,7	0,58	0,35	0,20	0,08
	2,5	1,57	1,44	1,38	1,32	1,26	1,21	1,1	0,92	0,76	0,63	0,38	0,23	0,10
	2,7	1,65	1,52	1,46	1,40	1,34	1,28	1,17	0,98	0,81	0,67	0,42	0,26	0,11
	3,0	1,76	1,63	1,56	1,50	1,43	1,38	1,26	1,06	0,89	0,74	0,47	0,30	0,14

Таблица 4

$\phi_3$ , МПа	Модуль деформации грунта $E_s$ , МПа	
	глина, суглинок	супесь, песок
0,25	1,8	1,3
0,50	3,0	2,2
0,75	4,0	3,1
1,00	5,5	4,4
1,50	8,0	6,0
2,00	12,0	10,0
2,50	15,0	13,0
3,00	18,0	15,0
3,50	22,0	18,0
4,00	26,0	20,0
4,50	32,0	22,0
5,00	36,0	25,0
6,00	52,0	30,0

Примечание. Таблица заимствована из "Методических рекомендаций по проведению скоростных инженерно-геологических изысканий для проектирования объектов массового строительства на забивных сваях" (Уфа, НИИ - промстрой, 1977).

$\rho$  - давление грунта на боковую поверхность свай, принимаемое по табл. 2;

$F_{e,s}$  - безразмерные коэффициенты, принимаемые по табл. 3;

$\alpha_e$  - коэффициент деформации трубопровода, определяемый по формуле

Таблица 5

$\zeta \cdot l$	Коэффициент	$z/l$									
		0	0,1	0,2	0,3	0,4	0,5	0,6	0,8	1,0	
2,6	$Y_m$	2,024	1,109	0,450	0,006	-0,251	-0,401	-0,453	-0,412	-0,310	
	$Y_p$	2,054	1,538	1,073	0,683	0,378	0,146	-0,023	-0,249	-0,414	
2,8	$Y_m$	2,007	1,037	0,359	-0,075	-0,316	-0,421	-0,436	-0,326	-0,164	
	$Y_p$	2,028	1,479	0,992	0,596	0,298	0,086	-0,058	-0,217	-0,313	
3,0	$Y_m$	2,001	0,974	0,277	-0,140	-0,359	-0,433	-0,415	-0,259	-0,056	
	$Y_p$	2,013	1,429	0,817	0,521	0,226	0,032	-0,085	-0,189	-0,226	
3,2	$Y_m$	2,000	0,916	0,207	-0,201	-0,390	-0,434	-0,391	-0,201	-0,018	
	$Y_p$	2,006	1,384	0,852	0,445	0,183	-0,011	-0,115	-0,161	-0,154	
3,4	$Y_m$	2,001	0,864	0,141	-0,282	-0,411	-0,427	-0,384	-0,155	0,068	
	$Y_p$	2,003	1,346	0,790	0,379	0,108	-0,048	-0,138	-0,138	-0,095	
3,6	$Y_m$	2,002	0,792	0,082	-0,290	-0,422	-0,414	-0,333	-0,116	0,097	
	$Y_p$	2,002	1,306	0,732	0,319	0,060	-0,078	-0,149	-0,116	-0,049	
3,8	$Y_m$	2,003	0,763	0,028	-0,326	-0,427	-0,395	-0,302	-0,087	0,109	
	$Y_p$	2,002	1,272	0,681	0,265	0,019	-0,098	-0,150	-0,099	-0,017	
4,0	$Y_m$	2,003	0,713	-0,022	-0,350	-0,426	-0,372	-0,267	-0,061	0,112	
	$Y_p$	2,002	1,236	0,626	0,216	-0,015	-0,119	-0,150	-0,080	0,007	
4,2	$Y_m$	2,003	0,665	-0,070	-0,373	-0,420	-0,345	-0,235	-0,040	0,106	
	$Y_p$	2,001	1,200	0,575	0,171	-0,045	-0,128	-0,148	-0,066	0,022	
4,4	$Y_m$	2,002	0,617	-0,114	-0,388	-0,409	-0,317	-0,202	-0,023	0,093	
	$Y_p$	2,001	1,166	0,527	0,131	-0,069	-0,135	-0,131	-0,053	0,032	
4,6	$Y_m$	2,002	0,572	-0,152	-0,401	-0,393	-0,289	-0,171	-0,011	0,080	
	$Y_p$	2,001	1,133	0,483	0,094	-0,086	-0,137	-0,122	-0,041	0,036	
4,8	$Y_m$	2,001	0,527	-0,187	-0,409	-0,378	-0,266	-0,142	-0,001	0,066	
	$Y_p$	2,001	1,098	0,441	0,061	-0,103	-0,138	-0,112	-0,032	0,035	
5,0	$Y_m$	2,001	0,484	-0,221	-0,416	-0,361	-0,233	-0,116	0,001	0,051	
	$Y_p$	2,001	1,065	0,398	0,030	-0,115	-0,135	-0,102	-0,022	0,032	

$$\lambda_0 = \sqrt{\frac{E_0}{4EJ(1-\mu^2)}}; \quad (3)$$

$EJ$  - то же, что и в формуле (1);

$\mu$  - коэффициент Пуассона, принимаемый равным для глины 0,42; суглинков 0,35; песка и супесей 0,30;

$E_0$  - модуль деформации грунта в основании трубопровода, определяемый в соответствии с требованиями СНиП или принимаемый по табл. 4 в зависимости от среднего значения сопротивления грунта  $\sigma_s$  под зондом в основании трубопровода при зондировании со стабилизацией установкой С-832 М.

3. Если трубопровод находится в зоне осадки или выпора грунта в основании при забивке свай, то величина максимального изгибающего момента в ближайшем к свае сечении трубопровода определяется по формуле

$$M_3 = 2EJ\lambda_0^2 y_0, \quad (4)$$

где  $y_0$  - осадка или выпор грунта в основании трубопровода при забивке свай, определяемые экспериментально в соответствии с п. 4.9.

Значения коэффициента деформации  $\lambda_0$  трубопровода в формуле (4) определяются путем последовательных попыток, для чего, задаваясь произвольно значением  $\lambda_0$  на участке трубопровода длиной  $\ell$ , строится изогнутая его линия по формуле

$$y_x = y \left( y_p - \frac{y_m}{2} \right), \quad (5)$$

где  $y_p$  и  $y_m$  - безразмерные коэффициенты, принимаемые по табл. 5 в зависимости от приведенной длины трубопровода  $\lambda_0 \ell$  и  $x/\ell$ .

При совпадении изогнутой линии трубопровода на участке  $\ell$  с кривой деформации основания определяется расчетный  $\lambda_0$ .

**Приложение 2**

**ТЕХНИЧЕСКИЙ ПАСПОРТ**  
состояния зданий, сооружений и подземных коммуникаций  
при забивке свай (шпунта, штампа)

**Адрес** \_\_\_\_\_

**Дата обследования** \_\_\_\_\_

**1. План расположения зданий, сооружений, подземных се-  
тей, свай и шпунта** \_\_\_\_\_

**2. Тип здания, сооружения, количество этажей, пролетов,  
общая высота** \_\_\_\_\_

\_\_\_\_\_

\_\_\_\_\_

**3. Вертикальные несущие элементы (стены, колонны)** \_\_\_\_\_

\_\_\_\_\_

\_\_\_\_\_

**4. Перекрытия** \_\_\_\_\_

\_\_\_\_\_

**5. Покрытия** \_\_\_\_\_

\_\_\_\_\_

**6. Тип фундамента, размеры, глубина заложения, давление  
на грунт** \_\_\_\_\_

\_\_\_\_\_

\_\_\_\_\_

**7. Отделка стен и потолков, толщина штукатурки, состоя-  
ние покрытий и т.п., заделка деформационно-осадочных  
швов** \_\_\_\_\_

\_\_\_\_\_

\_\_\_\_\_

**8. Группа зданий и сооружений по состоянию (по табл.3 )** \_\_\_\_\_

\_\_\_\_\_

\_\_\_\_\_

**9. Назначение и конструкция подземных коммуникаций ,  
материал трубопроводов и конструкция стыков, давле-  
ние в трубопроводах, материал колодцев, температура  
наполнителя** \_\_\_\_\_

\_\_\_\_\_

10. Инженерно-геологическая характеристика площадки и грунтов основания здания \_\_\_\_\_
11. Наличие чувствительного к колебаниям оборудования и допустимые амплитуды скоростей колебаний (по табл.5) \_\_\_\_\_
12. Необходимость наблюдений при выполнении свайных работ (требуются, не требуются) \_\_\_\_\_
13. Необходимые мероприятия по ремонту и ограждению местных повреждений перед началом свайных работ (перечень мероприятий) \_\_\_\_\_
14. Результаты наблюдений за состоянием зданий(сооружений, подземных коммуникаций) при выполнении свайных работ (краткое описание появившихся повреждений конструкций, стен и отделки) \_\_\_\_\_
15. Принятые меры по обеспечению безопасности людей, оборудования и строительных конструкций при обнаружении повреждений, вызванных колебаниями при свайных работах \_\_\_\_\_
16. Размеры, количество свай и расстояние от здания (сооружения, инженерных сетей) до ближайших свай и шпунта \_\_\_\_\_
17. Технические характеристики сваебойного оборудования и вибропогружателей \_\_\_\_\_
18. Осадки здания (сооружения, подземных коммуникаций) от динамических воздействий (во время погружения свай и шпунта, по окончании работ, через месяц после окончания работ) \_\_\_\_\_
19. Состояние зданий (сооружений, подземных коммуникаций) в период свайных работ и по окончании свайных работ \_\_\_\_\_

## О Г Л А В Л Е Н И Е

	Стр.
1. Общие положения . . . . .	3
2. Определение безопасных расстояний до зданий и сооружений при забивке свай (шпунта, штампов) . . . . .	4
3. Определение безопасных расстояний до подземных коммуникаций при забивке свай (шпунта и штампов) . . . . .	21
4. Измерение параметров колебаний и деформаций грунта при забивке свай (шпунта, штампов)	24
5. Обследование зданий, сооружений, подземных коммуникаций и наблюдения за их состоянием при забивке свай . . . . .	27
6. Производство свайных работ вблизи зданий, сооружений и подземных коммуникаций . . . . .	28

### Приложения:

1. Определение усилий в подземных трубопроводах при забивке свай . . . . .	31
2. Технический паспорт состояния зданий, сооружений и подземных коммуникаций при забивке свай (шпунта, штампов) . . . . .	38

Ответственный за выпуск З.Г.Абоймова

Редактор С.И. Елагина

---

ПО 1186. Подписано в печать к в свет 7 февраля  
1983 г. Объем 1,8 печ.л. Уфа, ротапринт НИИпромстроя.  
Тираж 500 экз. Цена 40 коп. Заказ № 51.